

·论著·

中国人群神经管缺陷 *VANGL1* 基因突变的筛查及关联研究

徐 织¹ 王 剑² 傅启华² 杨 波¹ 宋云海¹ 鲍 南¹

【摘要】目的 探讨 *VANGL1* 基因突变和单核苷酸多态性(SNPs)与中国人群神经管缺陷(Neural Tube Defects, NTDs)的相关性。**方法** 应用聚合酶链反应结合 DNA 测序技术,对 100 例 NTDs 患者及 240 例对照组的 *VANGL1* 基因进行突变筛查,并分析 SNP 位点是否与 NTDs 有关。结果 在 *VANGL1* 基因的全部 8 个外显子中,NTDs 组及对照组均发现有错义突变 c. 640C > T(p. R214W) 和 c. 1127A > G(p. Q376R) 存在,但两组比较差异无统计学意义($P > 0.05$)。在 *VANGL1* 基因的 5' 和 3' 端共发现 4 个 SNPs 位点存在,分别是 -5046C/G、-5048A/C、54740A/G 和 54932A/G。-5046C/G 和 -5048A/C 的基因型频率在两组间比较,无统计学意义($P > 0.05$);而 54740A/G 和 54932A/G 的基因型频率在两组间比较,差异有统计学意义($P < 0.05$)。结论 中国人群 NTDs 患者的 *VANGL1* 基因中未发现有单独的基因突变存在,其转录调控区 SNPs 位点(54740A/G 和 54932A/G)与 NTDs 存在相关性。

【关键词】 椎管闭合不全;遗传筛查

Mutation screening and associated study of *VANGL1* gene in chinese patients with Neural Tube Defects.

XU Zhi¹, WANG Jian², FU Qi-hua², et al. 1, Department of Surgery; 2, Department of Laboratory Medicine, Shanghai Children's Medical Center, Shanghai Jiaotong University School of Medicine, Shanghai, 200127, China.

【Abstract】Objective To investigate the association and mutation of *VANGL1* gene in Chinese patients with neural tube defects (NTDs). **Methods** 100 patients with NTDs and 240 normal subjects as control group were investigated in this study. The *VANGL1* gene were amplified by polymerase chain reaction (PCR), the PCR products were purified and then sequenced. The association of the SNPs with the NTD were analyzed. **Results** Two missense mutation (c. 640C > T and c. 1127A > G) were identified both in NTDs and Controls. But there were no significant differences between them ($P > 0.05$). Four new single nucleotide polymorphisms (SNPs) were -5046C/G、-5048A/C、54740A/G and 54932A/G. According to analysis, there were no significant differences of the -5046C/G、-5048A/C between the NTDs patients and controls, and there were much significant differences of the 54740A/G and 54932A/G between the NTDs patients and controls ($P < 0.05$). **Conclusion** There was no mutation of gene *VANGL1* with NTDs in Chinese population. But there may be great relationship of 54740A/G and 54932A/G with NTDs.

【Key words】 Spinal Dysraphism; Genetic Screening

神经系统起源于神经外胚层,由神经管和神经嵴分化而成。如果神经管闭合和发育不全就会引起先天性畸形—神经管缺陷(neural tube defects, NTDs)。NTDs 主要表现为脑和脊髓发育异常,并常伴有颅骨和脊柱的异常。虽然目前人类 NTDs 的确切致病基因还不十分清楚,但有越来越多的研究认为 *VANGL* 基因家族与其密切相关。最近国外研

究^[1-2]报道了在 NTDs 患者中发现的多种 *VANGL1* 基因突变,证实了 *VANGL1* 基因与 NTDs 存在高度相关性,但国内还未见相关报道。本文对 100 例 NTDs 患者及 240 例正常对照者进行了 *VANGL1* 基因所有 8 个外显子及其侧翼序列的测序分析,发现位于 *VANGL1* 基因 3' 端非编码区的 2 个 SNPs 可能与 NTDs 相关。

材料与方法

doi:10.3969/j.issn.1671-6353.2011.02.005

作者单位:上海交通大学医学院附属上海儿童医学中心(上海市,200127),1,外科;2,检验科,通讯作者:鲍南,E-mail:zmxylb@yahoo.com.cn

一、研究样本

100 例 NTDs 患儿为 2009 年 3 月至 2010 年 3 月上海儿童医学中心神经外科收治的患儿。就诊年龄 15 d 至 16 岁, 其中男 53 例, 女 47 例。经 MRI、术中所见及病理检查证实均为各种类型的神经管缺陷。240 例对照组血液样本由上海儿童医学中心体检时收集, 排除 NTDs。以上标本的收集均获得患儿家属知情同意及医院伦理委员会的同意。

二、基因组 DNA 的提取

分别取患儿及对照组血液 1.8 mL, 枸橼酸钠抗凝, 使用天根生化科技(北京)有限公司的血液基因组 DNA 试剂盒提取基因组 DNA, 操作按试剂盒说明进行, 提取的 DNA 于 -20 °C 冰箱冻存。

三、多聚酶链反应(PCR)扩增

VANGL1 的 8 个外显子引物序列见表 1, 所有引物均由英骏(上海)贸易有限公司合成。PCR 反应体系为: 10 × Buffer 1 μL, 2 mol/L dNTP 0.8 μL, 两条 10 pmol/L 引物各 0.4 μL, TaqDNA 聚合酶 0.1 μL(5 U/uL), 去离子双蒸水 6.3 μL 和 DNA 样品 1 μL。扩增条件: 95°C 预变性 5 min, 95°C 变性 30 s, 退火(Exon1、Exon4、Exon6 和 Exon8 为 64°C; Exon2 为 62°C; Exon3、Exon5 和 Exon7 为 61°C) 40 s, 72°C 延伸 40~55 s(Exon1、Exon2、Exon3、Exon5、Exon6 和 Exon7 为 40 s; Exon4 为 55 s; Exon8 为 50 s), 循环 35 次, 72°C 延伸 2 min。

表 1 *VANGL1* 基因编码区引物序列及扩增片段长度

| <i>VANGL1</i> | 引物序列 | 扩增产物大小 |
|---------------|------------------------------------|----------|
| Exon1 | Forward 5'-ggcactctgtggggca-3' | 674 bp |
| | Reverse 5'-agacgcceccacctcgacc-3' | |
| Exon2 | Forward 5'-gagccccagagagggtt-3' | 400 bp |
| | Reverse 5'-tgactcagcgctg-3' | |
| Exon3 | Forward 5'-gtggatgggggggttttg-3' | 383 bp |
| | Reverse 5'-gttcttgggttttttg-3' | |
| Exon4 | Forward 5'-tgaataggcgtggtagatgc-3' | 849 bp |
| | Reverse 5'-ctttctgggtttggggagng-3' | |
| Exon5 | Forward 5'-tggaaaccatggacttcgt-3' | 366 bp |
| | Reverse 5'-tggttcgacttc-3' | |
| Exon6 | Forward 5'-agggggtggtagacaacat-3' | 674 bp |
| | Reverse 5'-aacatggacttcgtggaca-3' | |
| Exon7 | Forward 5'-ttccctttttcccttcc-3' | 612 bp |
| | Reverse 5'-tgtccctttcgaaggcc-3' | |
| Exon8 | Forward 5'-tggctggctctggctaa-3' | 1 072 bp |
| | Reverse 5'-gtacccttcccg-3' | |

四、DNA 序列分析结果

PCR 产物经割胶纯化后(Qiagen 公司产品),

ABI3130XL 测序仪直接测序。

五、统计学分析

病例组和对照组间等位基因频率的比较采用卡方检验, 在 SPSS11.5 软件包中进行。P < 0.05 为差异有统计学意义。

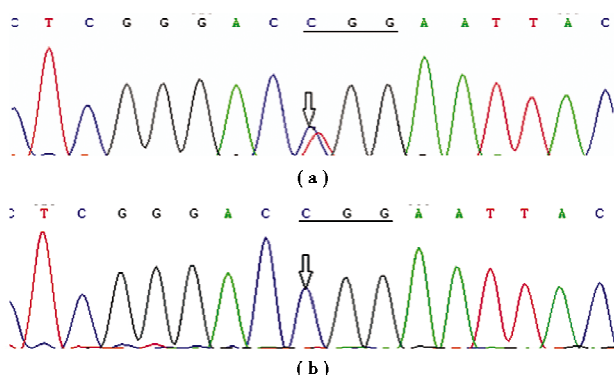
结 果

一、基因突变筛查结果

从 1 例神经管缺陷的患儿和 1 例对照组人群的 *VANGL1* 基因(Genbank 登录号: NM138959.2)中识别出一个新的错义突变, 即 c. 640C > T(三联体密码子由 CGG 变为 TGG), 导致 p. R214W。另一个是从 1 例神经管缺陷患儿和 2 例对照组人群的 *VANGL1* 基因中识别出 c. 1127A > G(三联体密码子由 CAG 变为 CGG), 导致 p. Q376R。见图 1~2 及表 2。

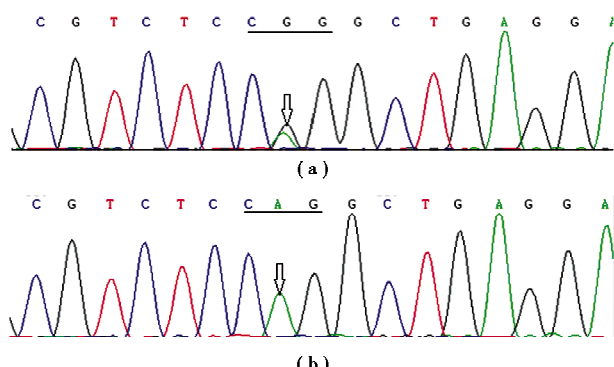
二、转录调控区 4 个新 SNPs 的识别

在 *VANGL1* 的 5' 和 3' 端分别发现了 4 个 SNPs, 分别为 -5046C/G、-5048A/C、54740A/G 和 54932A/G。根据对照分析, -5046C/G 和 -5048A/C



注: a, 箭头所示为 c.640C>T, 即 p.R214W; b, 箭头所示为同一位点的纯合野生型密码子 CGG

图 1 R214W 不同基因型的测序峰型



注: a, 箭头所示为 c.1127A>G, 即 p.Q376R; b, 箭头所示为同一位点的纯合野生型密码子 CAG

图 2 Q376R 不同基因型的测序峰型

表 2 NTDs 患儿和对照组人群中 *VANGL1* 基因错义位点比较[例(%)]

| 错义突变 | NTDs | Controls | P 值 |
|----------|-----------|--------------|------------|
| p. R214W | 1/100(1%) | 1/240(0.42%) | $P > 0.05$ |
| p. Q376R | 1/100(1%) | 2/240(0.83%) | $P > 0.05$ |

注: 两组基因型频率比较, $\chi^2 = 0.411$, $P > 0.05$

C 的基因型在 NTD 组和对照组间的频率分布无统

表 3 NTDs 患儿和对照组人群中基因 *VANGL1* 4 个新 SNPs 的基因型频率分布[例(%)]

| <i>VANGL1</i> 基因 | NTDs 患儿(n=100) | 对照组人群(n=240) | χ^2 值 | P 值 |
|---------------------|----------------|--------------|------------|----------|
| -5046C/G 基因型 | | | | |
| CC | 5(5.0%) | 10(4.1%) | 2.314 | > 0.05 |
| CG | 37(37.0%) | 70(29.2%) | 2.314 | > 0.05 |
| GG | 58(58.0%) | 160(66.7%) | 2.314 | > 0.05 |
| -5048A/C 基因型 | | | | |
| AA | 5(5.0%) | 10(4.1%) | 2.314 | > 0.05 |
| AC | 37(37.0%) | 70(29.2%) | 2.314 | > 0.05 |
| CC | 58(58.0%) | 160(66.7%) | 2.314 | > 0.05 |
| 54740A/G 基因型 | | | | |
| AA | 12(12.0%) | 40(16.7%) | 67.115 | < 0.05 |
| AG | 47(47.0%) | 20(8.3%) | 67.115 | < 0.05 |
| GG | 41(58.0%) | 180(75.0%) | 67.115 | < 0.05 |
| 54932A/G 基因型 | | | | |
| AA | 9(9.0%) | 30(12.5%) | 78.297 | < 0.05 |
| AG | 51(51.0%) | 20(8.3%) | 78.297 | < 0.05 |
| GG | 40(40.0%) | 190(79.2%) | 78.297 | < 0.05 |

讨 论

1998 年 Taylor 等^[3]首先在果蝇中克隆 *VANGL* 基因。根据表型的不同,最先发现的基因被命名为 *stbm* 或 *Vang*^[3-4]。在哺乳动物中, *VANGL* 包括 *VANGL1* 和 *VANGL2*, *VANGL1* 定位在小鼠染色体的 3qF2.2、人类的 1p13.1, 而 *VANGL2* 定位在小鼠染色体的 1qH3、人类的 1q23.2。脊椎动物的 *VANGL1* 和 *VANGL2* 蛋白属于高度保守的膜蛋白, 由 521 个氨基酸组成, 包括 4 个跨膜(TM)区和胞浆区, 一个 PDZ 结构域。4 个跨膜区分别位于氨基酸序列的 114-134、152-172、186-206、222-242 残基端^[5]。胞浆区的 PDZ 结构则与其他蛋白质的结合有关。在生物进化过程中, N 端胞质区的 Ser 簇结构域及 C 端胞质尾区的 PDZ 结构域是非常保守的^[6]。

VANGL 是平面细胞极性(Planar Cell Polarity, PCP)过程中的核心基因之一, 对神经胚形成时建立 PCP 和调节汇聚延伸(Convergent Extension, CE)过程起关键性的作用。如果在 PCP 过程中, *VANGL* 基

学意义(两组 -5046C/G 和 -5048A/C 的基因型频率比较统计量值均为: $\chi^2 = 2.314$, $P > 0.05$)。而 54740A/G 和 54932A/G 的基因型在 NTD 组和对照组间的频率分布则有明显统计学意义(两组 54740A/G 基因型频率比较: $\chi^2 = 67.115$, $P < 0.05$; 两组 54932A/G 的基因型频率比较: $\chi^2 = 78.297$, $P < 0.05$), 见表 3。

表 3 NTDs 患儿和对照组人群中基因 *VANGL1* 4 个新 SNPs 的基因型频率分布[例(%)]

| <i>VANGL1</i> 基因 | NTDs 患儿(n=100) | 对照组人群(n=240) | χ^2 值 | P 值 |
|---------------------|----------------|--------------|------------|----------|
| -5046C/G 基因型 | | | | |
| CC | 5(5.0%) | 10(4.1%) | 2.314 | > 0.05 |
| CG | 37(37.0%) | 70(29.2%) | 2.314 | > 0.05 |
| GG | 58(58.0%) | 160(66.7%) | 2.314 | > 0.05 |
| -5048A/C 基因型 | | | | |
| AA | 5(5.0%) | 10(4.1%) | 2.314 | > 0.05 |
| AC | 37(37.0%) | 70(29.2%) | 2.314 | > 0.05 |
| CC | 58(58.0%) | 160(66.7%) | 2.314 | > 0.05 |
| 54740A/G 基因型 | | | | |
| AA | 12(12.0%) | 40(16.7%) | 67.115 | < 0.05 |
| AG | 47(47.0%) | 20(8.3%) | 67.115 | < 0.05 |
| GG | 41(58.0%) | 180(75.0%) | 67.115 | < 0.05 |
| 54932A/G 基因型 | | | | |
| AA | 9(9.0%) | 30(12.5%) | 78.297 | < 0.05 |
| AG | 51(51.0%) | 20(8.3%) | 78.297 | < 0.05 |
| GG | 40(40.0%) | 190(79.2%) | 78.297 | < 0.05 |

因受到干扰, 就会导致高度组织特异性的上皮结构失去正常的极性, 从而有可能导致不同程度的神经管缺陷的发生。

目前不仅在孕期的小鼠中检测到 *VANGL1* 的存在, 在人类孕 8 和 10 周同样能检测到 *VANGL1* 的广泛存在, 而且表现为一种动态表达模式。根据刘坚等^[8]的研究, 在维甲酸诱导的神经管缺陷动物, 早期使用维甲酸(E9.5)导致 *VANGL1* 和 *VANGL2* 表达显著下调, 从颅侧到尾端神经孔均显著下调, 并且这种微弱的表达水平持续到出生。稍后使用维甲酸(E10.5)的影响方式较为复杂: *VANGL1* 和 *VANGL2* 基因表达在头侧中度下调, 但在尾侧却显著下调。这表明 *VANGL1/2* 与维甲酸诱导的神经管缺陷有关。

有学者首次在家族性和散发性 NTDs 患者的 *VANGL1* 基因中检测出 8 种独立的突变(p. V239I, p. R274Q, p. M328T, p. S83L, p. F153S, p. R181Q, p. L202F 和 p. A404S), 表明 *VANGL1* 基因与 NTDs 存在高度相关性^[1-3]。但考虑到种族、地域及民族的差异性, 中国人群中 *VANGL1* 突变情况还有待研究。

本实验对 100 例患儿的 *VANGL1* 进行了序列分

析,并未发现有明显相关的突变,这可能是因为我国地理环境不同,人种不同,同种疾病可能有不同基因突变。我国 *VANGL1* 基因是否与神经管缺陷有关,有待进一步实验证实。虽然本实验未找到与 NTDs 相关的基因突变,但发现了 2 个错义突变和转录调控区 4 个新 SNPs,其中 c. 640C > T 位于 *VANGL1* 的 TM3 和 TM4 之间的胞外区,对由此碱基组成的密码子编码的氨基酸在众多物种中比较后得知:在物种进化过程中,此位点保守性较低,容易突变。而 c. 1127A > G 位于 *VANGL1* 的胞浆区,此位点在物种进化中高度保守,发生突变的可能性小。这 2 个错义突变的基因型频率在 NTDs 患儿和对照组中的分布差异无统计学意义。错义突变是编码某种氨基酸的密码子经碱基替换以后,变成编码另一种氨基酸的密码子,从而使多肽链的氨基酸种类和序列发生改变。错义突变的结果能够使多肽链丧失原有功能,导致蛋白质异常。推测 2 个错义突变可能是导致 NTD 的原因之一,或与环境因素相互作用而发病。

基因转录调控区的碱基起控制基因转录的起始时间、表达程度以及转录的终止,如果部分碱基发生改变(突变),则导致基因表达的调节障碍,从而引起不同疾病。本实验中 -5046C/G 和 -5048A/C 碱基的改变在 NTDs 组和对照组中的频率分布无统计学意义,说明在神经管缺陷患儿中,这两个位点碱基的改变对神经管缺陷的发生不起作用或作用很小。而 54740A/G 和 54932A/G 碱基的改变在 NTDs 组和对照组中的频率分布有明显统计学意义,这两个位点可能是通过影响 *VANGL1* 基因转录的起始时间、表达程度以及终止的位点,进一步影响 mRNA 的剪切或修饰,造成 *VANGL1* 蛋白功能的改变,从而影响神经管缺陷的发生。

有文献报道,c. 346G > A 突变为 SNPs 具有种族差异性^[2]。本实验 100 例患儿和 240 例对照组中分别发现 27 例和 26 例存在此位点突变,患儿中基因型 GG、GA、和 AA 的频率分别为 0.73、0.26 和 0.01,对照组中基因型 GG、GA、和 AA 的频率分别为 0.77、0.20、0.03。病例组和对照组中此位点的突变并无差别,说明中国人群中 c. 346G > A 的突变率与非洲裔美国人群相似。

由于病例数有限和疾病类型的多样性,本实验只发现了 2 个错义突变和转录调控区 4 个新 SNPs,未发现与 NTDs 相关的基因突变,同时 NTDs 是一种复杂的多因子病,环境和遗传因素在其中起了重要作用,所以应进一步扩大样本量,追踪突变患者的家

系,以确定遗传因素在其中所起的作用;另一方面,目前已明确孕前服用叶酸可使 NTDs 的发生率降低 50% ~ 70%^[7]。有关动物实验也表明,*VANGL1/2* 与维甲酸诱导的神经管缺陷有关^[8];相关实验表明斑马鱼 *VANGL1* 的异位表达部分抑制 tri(*VANGL2*)突变时原肠胚形成时的缺陷,同样,在斑马鱼体内注射入 *VANGL1* 的 mRNA 后能部分抑制 tri/*VANGL2* 敲除小鼠的 CE 缺陷^[9~10],这些现象说明 *VANGL1* 和 *VANGL2* 不仅具有相似的生物学活性,而且都与神经管畸形有关。应继续研究叶酸代谢和 *VANGL* 突变之间有无关联及相关性如何,阐明 NTDs 发病的分子机理,为临床 NTDs 的预防及治疗提供有效指导。

参 考 文 献

- Kibar Z, Torban E, McDermid JR, et al. Mutations in *Vangl1* associated with neural-tube defects [J]. *N Engl J Med*, 2007, 356(14): 1432~1437.
- Kibar Z, Bosoi CM, Kooistra M, et al. Novel Mutations in *Vangl1* in Neural Tube Defects [J]. *Hum Mutat*, 2009, 30(7): E706~715.
- Taylor J, Abramova N, Charlton J, et al. Van Gogh: a new Drosophila tissue polarity gene [J]. *Genetics*, 1998, 150(1): 199~210.
- Wolff T, Rubin GM. Strabismus, a novel gene that regulates tissue polarity and cell fate decisions in Drosophila [J]. *Development*, 1998, 125(6): 1149~1159.
- Torban E, Wang HJ, Groulx N, et al. Independent mutations in mouse *Vangl2* that cause neural tube defects in looptail mice impair interaction with members of the Dishevelled family [J]. *J Biol Chem*, 2004, 279(50): 52703~52713.
- Katoh Y, Katoh M. Comparative genomics on *Vangl1* and *Vangl2* genes [J]. *Int J Oncol*, 2005, 26(5): 1435~1440.
- van der Linden IJ, Afman LA, Heil SG, et al. Genetic variation in genes of folate metabolism and neural-tube defect risk [J]. *Proc Nutr Soc*, 2006, 65(2): 204~215.
- 刘坚,戚静,祝婕,等.维甲酸对胎鼠 *Vangl1* 及 *Vangl2* 基因表达的影响 [J]. 中国优生与遗传杂志. 2008, 16(3): 23~26.
- Jessen JR, Solnica-Krezel L. Identification and developmental expression pattern of van gogh-like 1, a second zebrafish strabismus homologue [J]. *Gene Expr Patterns*, 2004, 4(3): 339~344.
- Reynolds A, McDermid JR, Lachance S, et al. *Vangl1* rare variants associated with neural tube defects affect convergent extension in zebrafish [J]. *Mech Dev*, 2010, 127(7~8): 385~392.